

Литература

- [1] B.K. Ridley, R.G. Pratt. Phys. Lett., 4, 300, 1963.
- [2] С.Г. Калашников, И.А. Куррова. ФТТ, 5, 3224, 1963.
- [3] K.W. Boer. Phys. Chem. Solids, 22, 123, 1961.
- [4] A. Barraud. Compt. Rend. 256, 3632, 1963.
- [5] D.C. Northrop, P.R. Thornton, K.E. Tretise. Solid State Electr., 7, 17, 1964.
- [6] A.W. Smith. Sol. State Electr., 8, 833, 1965.
- [7] F. Pockels. Lehrbuch der Kristalloptik (B.G. Teubner, Leipzig, 1906).
- [8] В.С. Багаев, Ю.Н. Берозашвили, Л.В. Келдыш. Письма ЖЭТФ, 4, 364, 1966.
- [9] B.K. Ridley, J.B. Watkins. J. Phys. Chem. Sol., 22, 155, 1961.
- [10] В.Л. Бонч-Бруевич, С.Г. Калашников. ФТТ, 7, 750, 1965.

АНТИФЕРРОМАГНИТНЫЙ РЕЗОНАНС НОВОГО ТИПА В $\alpha\text{-Fe}_2\text{O}_3$

В.Н. Ожогин, В.Г. Шапиро

Антиферромагнетик $\alpha\text{-Fe}_2\text{O}_3$ исследован очень подробно, однако интерес к нему не ослабевает. Так, дискутируется вопрос об аномалиях кривой намагничивания $m_x(H_x)$ в перпендикулярном к тройной оси C_3 направлении в больших полях и при $T < T_M$, когда в нулевом поле намагниченности подрешеток M_1 и M_2 выстроены вдоль C_3 [1–4]. В связи с этим представляет интерес экспериментальное изучение динамики подрешеток в этой области полей и температур.

Имея в виду $\alpha\text{-Fe}_2\text{O}_3$ при $T < T_M$, рассмотрим влияние поперечного поля на простейший антиферромагнетик с анизотропией типа "легкая ось" и отличным от нуля взаимодействием Дзялошинского. Ось z направим вдоль легкой оси, а ось x – вдоль перпендикулярного к z поля H . Энергию системы запишем в виде:

$$H = \frac{B}{2} M^2 + \frac{a}{2} (L_x^2 + L_y^2) - \beta (M_x L_y - M_y L_x) - M H, \quad (1)$$

где $M \equiv M_1 + M_2$; $L \equiv M_1 - M_2$; $|M_1|^2 = |M_2|^2 \equiv M_o^2$. Анализируя затем уравнения движения для векторов M и L :

$$\frac{1}{\gamma} \dot{M} = [MH_M] + [LH_L]; \quad \frac{1}{\gamma} \dot{L} = [MH_L] + [LH_M], \quad (2)$$

где $H_M \equiv -\partial H / \partial M$; $H_L \equiv -\partial H / \partial L$, получаем равновесные значения M и L .

$$H_x < H_{c1}: m_x = \frac{H_A H_x}{2H_A H_E - H_D^2}; \ell_y = \frac{H_D H_x}{2H_A H_E - H_D^2}; \ell_z = \left(1 - \frac{H_x^2}{H_{c1}^2}\right)^{1/2}, \quad (3)$$

$$H_x > H_{c1}: \ell_z = 0; \ell_y = \sqrt{1 - m_x^2}; (B - a)m_x - \beta \frac{1 - 2m_x^2}{\sqrt{1 - m_x^2}} = \frac{H_x}{2M_0}, \quad (4)$$

где $m = M/2M_0$; $\ell = L/2M_0$; $H_E = BM_0$; $H_A = 2aM_0$; $H_D = 2\beta M_0$.

Компоненты M_y , M_z и L_x равны нулю при всех H_x . Критическое поле H_{c1} определяется как поле, при котором L_z впервые обращается в нуль. Выражение для него имеет вид

$$H_{c1} = (2H_A H_E - H_D^2) / (H_A^2 + H_D^2)^{1/2} \quad (5)$$

и отличается большей общностью от приведенного в [4]* (из (5) для антиферромагнетика без взаимодействия Дэялошинского имеем $H_{c1} = 2H_E$, т.е. известное "поле склонения").

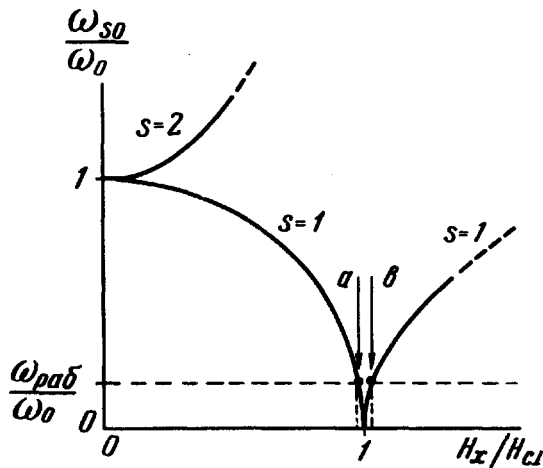


Рис.1. Рассчитанная зависимость частот АФМР от поля в $a - Fe_2O_3$ при HIC_3

Решение системы (2) для малых отклонений $\bar{\mu}$ и $\bar{\lambda}$ от равновесных M и L дает две частоты собственных колебаний. Одна из них — та, которая при $H_x = H_{c1}$ обращается в нуль, — представляет особый интерес:

$$H_x < H_{c1}: \omega_{10}^2 = \omega_0^2 (1 - H_x^2/H_{c1}^2); \quad \omega_0^2 = \gamma^2 (2H_A H_E - H_D^2), \quad (6a)$$

$$H_x > H_{c1}: \omega_{10}^2 = \left(\frac{\gamma}{2M_0}\right)^2 (H_D M_x - H_A L_y) [(2H_E - H_A)L_y + 2H_D M_x + \frac{H_D M_x}{(L_y/2M_0)^2}], \quad (6b)$$

При этом, используя (4), из (6б) легко получить, что в полях, не слишком превышающих $H_{c\perp}$, частота ω_{10} растет по закону $\omega_{10} \approx \omega_0 (H_x/H_{c\perp} - 1)^{1/2}$ — см. рис. 1. Как выше, так и ниже $H_{c\perp}$ с частотой ω_{10} происходят колебания величин u_x , λ_y , λ_z и возбуждаются они переменным полем h_x .

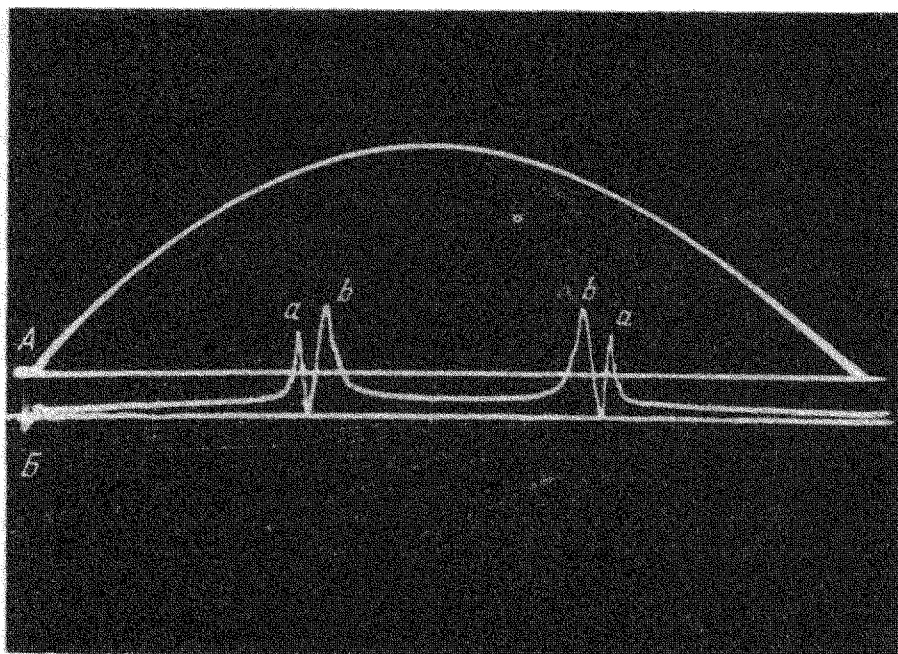


Рис.2. А — осциллографмма сигнала, пропорционального напряженности магнитного поля в соленоиде, Б — осциллографмма сигнала СВЧ детектора, пропорционального величине поглощенной образцом мощности

Следует отметить, что в полях $H_x \sim H_{c\perp}$ должны наблюдаться и другие аномалии свойств антиферромагнетиков. Так, например, "линейная" магнитострикция сдвигового типа (эффект, обратный пьезомагнитному [5]) в антиферромагнетиках типа $a - Fe_2O_3$ должна исчезать при полях $H_x > H_{c\perp}$; при $H_x < H_{c\perp}$ деформация сдвига $U_{yz} = \Lambda H_x (1 - H_x^2/H_{c\perp}^2)^{1/2}$ и имеет максимум $U_{yz}^{max} = \Lambda H_{c\perp}/2$ в поле $H_x = H_{c\perp}/\sqrt{2}$.

Вопрос о приложимости столь простой теории к случаю $a - Fe_2O_3$ во всей области $T < T_M$ остается пока открытым, т.к. она предсказывает непрерывную в $H_{c\perp}$ зависимость m_x vs H_x , что расходится с экспериментом вблизи T_M [3] (из формул (3)–(5) следует лишь скачок dm_x/dH_x в $H_{c\perp}$ — эффект, аналогичный наблюденному ранее в CoF_2 [6, 7]).

Однако вытекающее из этого расчета обращение в нуль одной из частот антиферромагнитного резонанса при $H_x = H_{c\perp}$ обнаружено нами экспериментально.

Измерения проводились на отражательном СВЧ-спектрометре 8 мм диапазона (рабочая частота $\nu_{\text{раб.}} = 32 \text{ Гц}$) с импульсным магнитным полем. Длительность поля от нуля до максимума $t_{\text{ом}} \sim 5 \text{ мсек}$. Максимальная величина поля $H_m \sim 250 \text{ кэ}$. Градуировка сигнала $H(t)$ (см. рис. 2A) осуществлялась с помощью наблюдения антиферромагнитного резонанса в Cr_2O_3 при $H \parallel C_3$ и $T = 77^\circ\text{K}$ [8]. Точность измерения поля $\pm 3\%$.

Образец размером 1 × 3 × 4 мм искусственного монокристалла $\alpha - \text{Fe}_2\text{O}_3^{**}$ приклеивался к узкой стенке расположенного вдоль оси соленоида волновода — таким образом, что импульсное и параллельное ему СВЧ магнитные поля оказывались в базисной плоскости кристалла.

На рис.2 приведены осциллограммы поля и сигнала СВЧ детектора, снятые при $T = 77^\circ\text{K}$. Отчетливо видны пики поглощения при $H_a = 130 \text{ кэ}$ и $H_b = 135 \text{ кэ}$. Предполагая, что эти пики можно интерпретировать как резонансы ниже и выше критического поля $H_{c\perp}$, получаем следующие значения входящих в расчет постоянных:

$H_{c\perp} = 132 \pm 4 \text{ кэ}$; $\omega_0/\omega_{\text{раб.}} = 6,2 \pm 1$, откуда $(2H_A H_E - H_D^2)^{1/2} = 70 \pm 10 \text{ кэ}$ (положено $g = 2,0$).

Кроме того, более точно величина $(2H_A H_E - H_D^2)$ была получена нами из отдельного эксперимента, в котором на том же образце $\alpha - \text{Fe}_2\text{O}_3$ наблюдался антиферромагнитный резонанс при $H \parallel C_3$. Резонанс имел место при $H_z = 51 \text{ кэ}$, что позволило определить "поле опрокидывания" $H_{c\parallel} = (2H_A H_E - H_D^2)^{1/2} = 63 \pm 3 \text{ кэ}$, в согласии с результатами [9] и [2].

Подставляя указанные значения $H_{c\perp}$ и $H_{c\parallel}$ в (5) и пренебрегая полем H_A в знаменателе ($H_A = 0,54 \text{ кэ}$), находим: $H_D(77^\circ\text{K}) = 30 \pm 4 \text{ кэ}$. Отличие этой величины от полученной Рудашевским [10] из резонанса при $T > T_M$: $H_D(295^\circ\text{K}) = 22 \pm 0,2 \text{ кэ}$, и Фонером [11] из резонанса при $H \parallel C_3$ и $T < T_M$: $H_D(77^\circ\text{K}) = 40 \pm 3 \text{ кэ}$, требует внимания, и, в частности, продолжения описанных экспериментов при больших частотах и других температурах.

Мы выражаем искреннюю признательность И.К. Кикоину за постоянный интерес к этой работе.

Поступило в редакцию
12 апреля 1967 г.

Литература

- [1] J. Kaczer, T. Shalnikova. Proc. Int. Conf. on Magn., Nottingham, 1964.
- [2] T. Kaneko, S. Abe. J. Phys. Soc. Japan, 20, 2001, 1965.
- [3] P.J. Flanders, S. Shtrikman. Sol. St. Comm., 3, 285, 1965.

- [4] P. Novotny, J. Kaczer, 10-я Междунар. конф. по физике низких температур. Москва, 1966 г.
- [5] A.S. Borovik-Romanov, B.E. Javelov. Phys. and Techn. of Low. Temp., Proc. of 3d reg. conf., Prague, 1964.
- [6] В.И. Ожогин. ЖЭТФ, 45, 1687, 1963.
- [7] В.И. Ожогин. Диссертация. Институт Атомной энергии, 1965.
- [8] S. Foner. Phys. Rev., 130, 183, 1963.
- [9] P.J. Besser, A.H. Morrish. Phys. Lett., 13, 289, 1964.
- [10] Е.Г. Рудашевский, Т.А. Шальникова. ЖЭТФ, 47, 886, 1964.
- [11] S. Foner, S.G. Williamson. J. Appl. Phys., 36, 1154, 1965.

* А также от приведенного в [2], где не проводилось дифференцирование выражения (6) по θ и поэтому не выявлено, что значение $\theta = 0$ не является равновесным при $0 < H_x < H_{c\perp}$.

** Выращенного В.М. Скориковым (Институт общей и неорганической химии АН СССР) и любезно предоставленного нам Е.Г. Рудашевским.